

# Chimie d'éléments f pour l'industrie nucléaire

DE LA RECHERCHE À L'INDUSTRIE



## Objectif industriel

(contexte) : Progresser en **simulation**

des différentes étapes du cycle du combustible nucléaire, pour en diminuer le coût,  
en améliorer la maîtrise et la fiabilité,  
donner confiance en la gestion à long terme de ses déchets.

## Moyens (objet du séminaire) : Modélisation multi-échelle.

Sujets de recherche (bases possibles de partenariats).

**Sujets :** Comportement géochimique, retraitement, analyse, remédiation  
Comprendre, trouver, utiliser un **réactif spécifique d'ions f**.

**Démarche :** Microscopique (**calculs quantiques**).  
Macroscopique (**thermodynamique** notamment pour changer d'échelle... et permettre une approche pluridisciplinaire).

# Modélisations pour comprendre, trouver, utiliser un réactif spécifique d'ions f.

## Simulation du transport réactif

Chimie  
Hydrodynamique  
Géométrie

## Tableau (/ base) de données $\Delta_r G$ (K) mesurées

Thermodynamique  
(solution liquide, solide...)

Température,  
écart à l'idéalité

## Simulation par dynamique moléculaire (ou gros grain)

Physique statistique

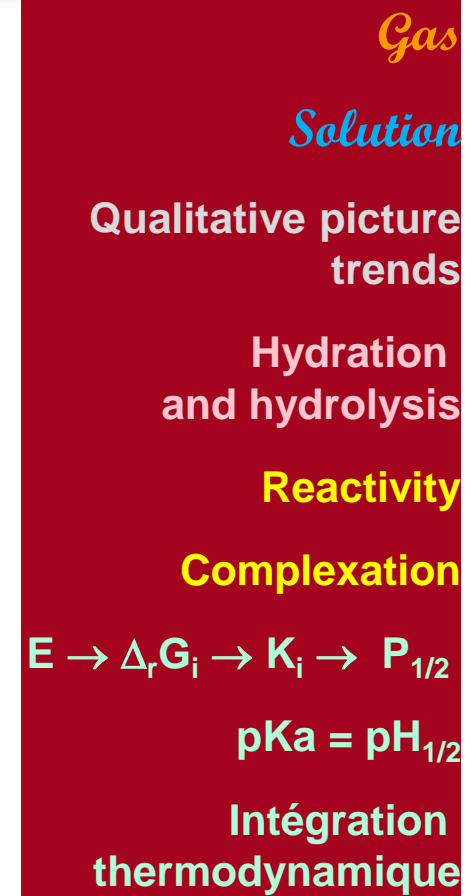
Forces

Données  
Modèle classique

Mécanique classique

## Mécanique quantique

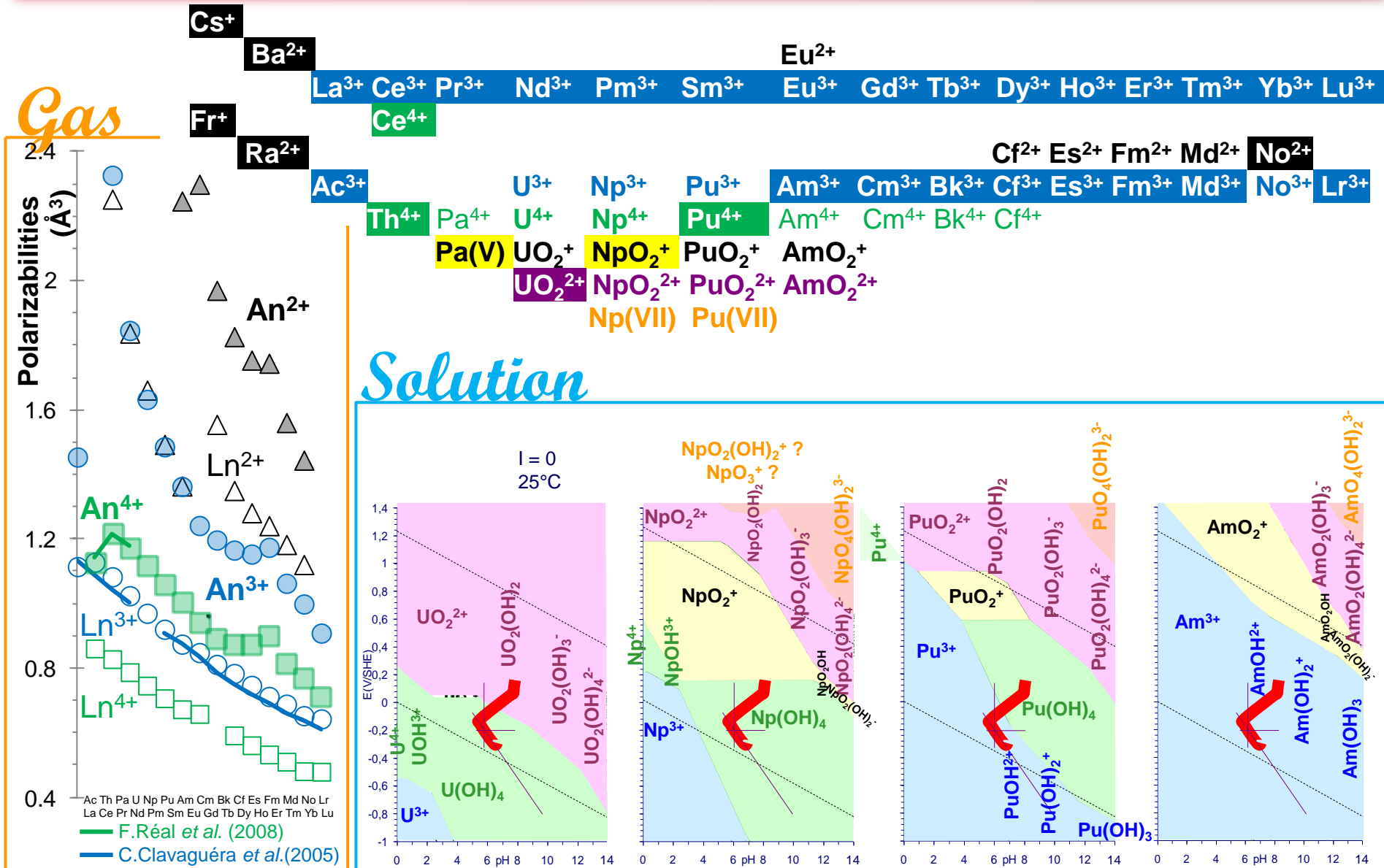
Atomes, électrons



## Réactivité chimique (effets électrostatiques, dureté, covalence...)

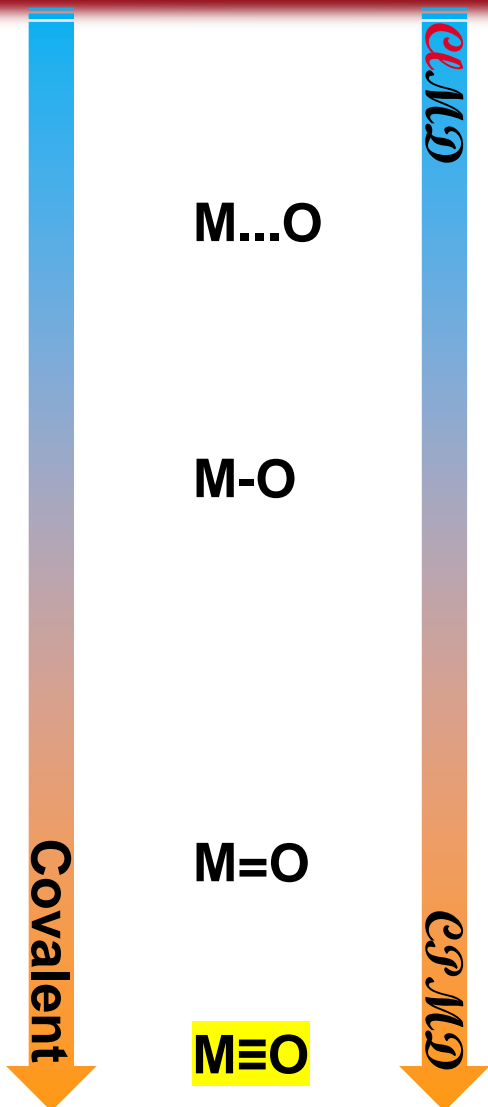
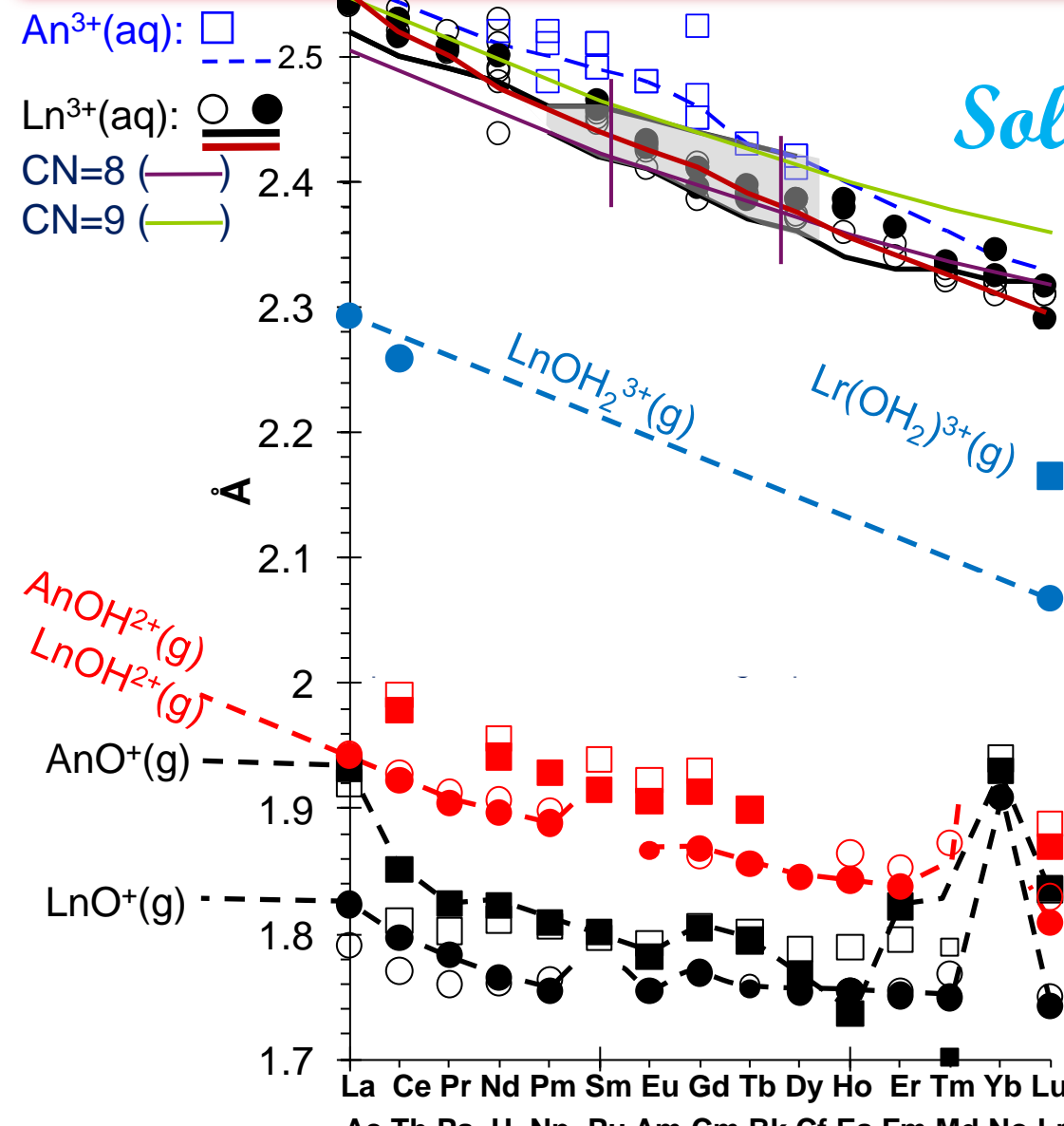
Liaisons chimiques (Molécules) et autres interactions

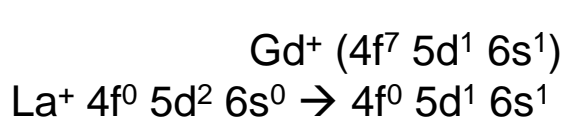
# Qualitative picture of Actinoid and Lanthanoid chemistries: analogues, hardness, contraction...



# Hydration and hydrolysis: trend in M-O distances ( $M^{3+} = \text{Ln}^{3+}$ and $\text{An}^{3+}$ ) in $\text{MOH}_2^{3+}$ , $\text{MOH}^{2+}$ and $\text{MO}^+$

M.Duvail

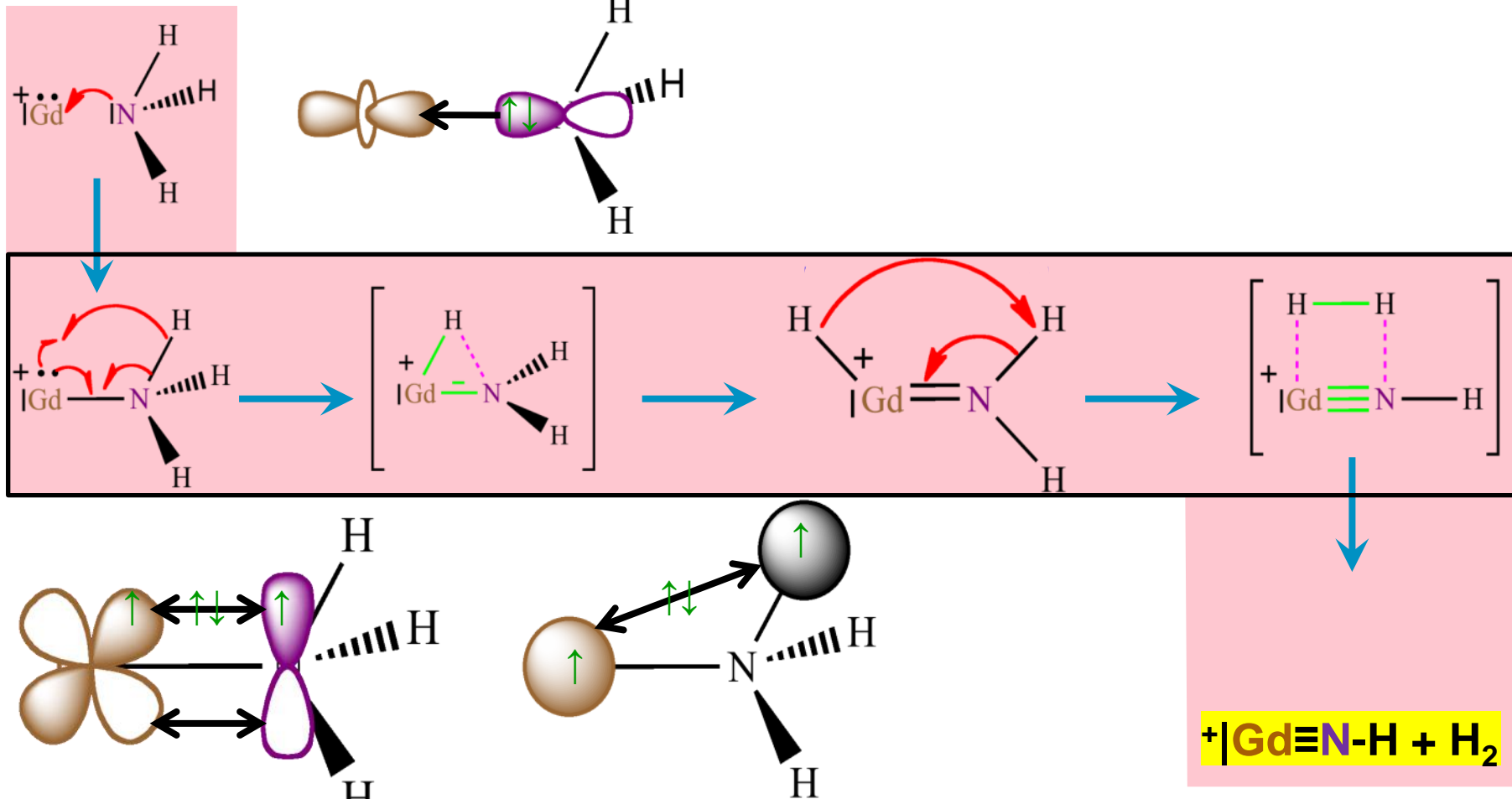




↑ ↑ ↑ ↑ ↑ ↑ ↑  
4f

↑  
5d

↑  
6s



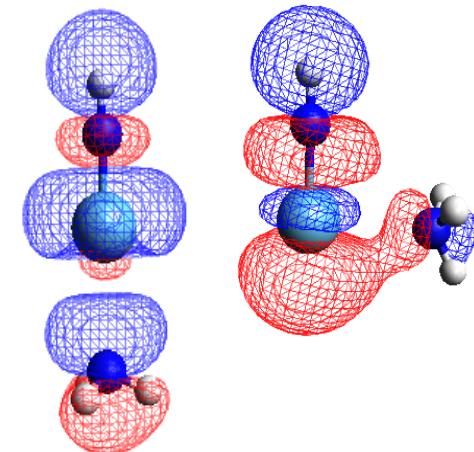
A. Quémét et al. *Eur.J.Inorg.Chem.* (2012) 3551 doi:10.1002/ejic.201200455  
A. Quémét et al. *Int.J.Mass Spectrom.* (2012) 27 doi:10.1016/j.ijms.2012.10.005

**Complexation:**

*Gas*

$$E \rightarrow \Delta_r G \rightarrow K \rightarrow P_{1/2}$$

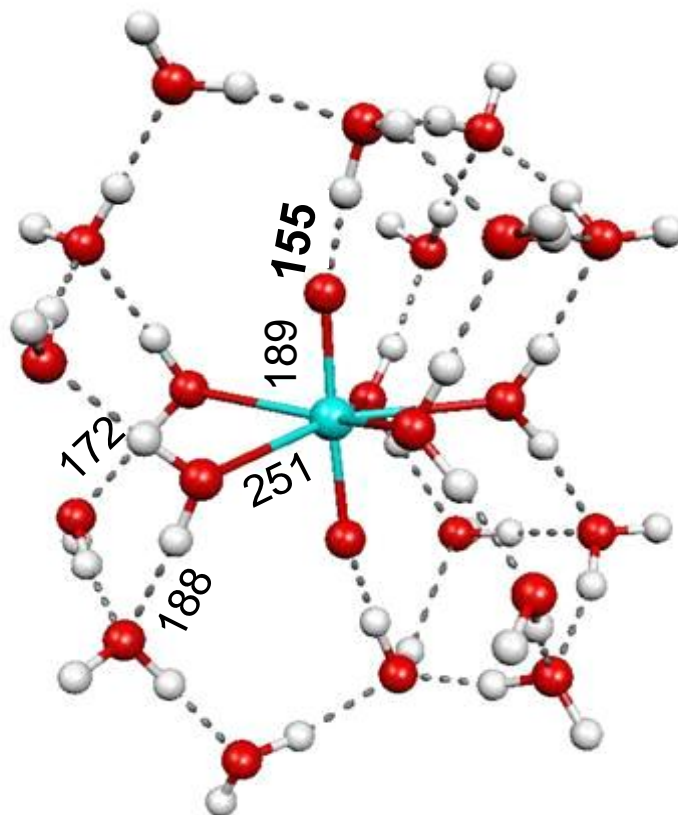
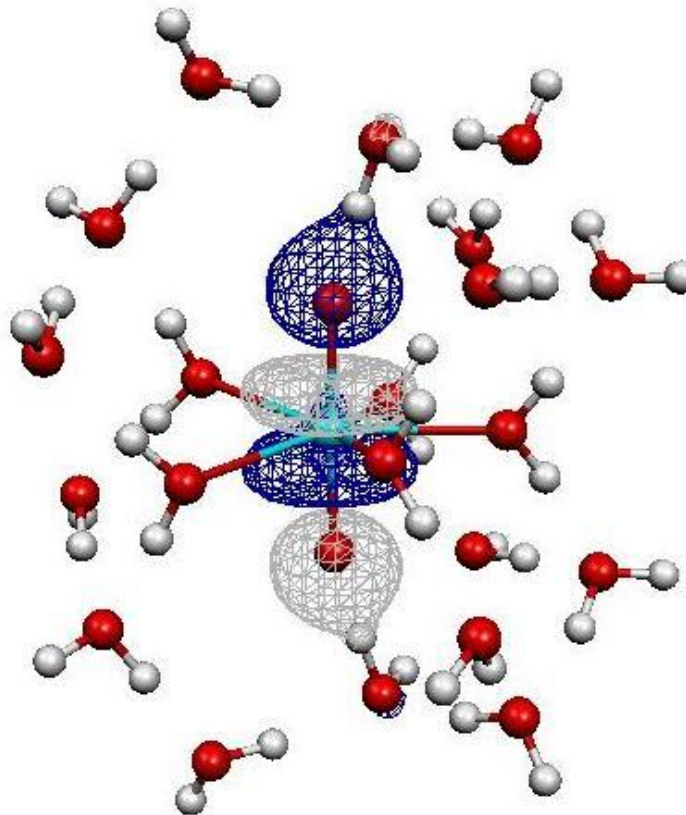
$i-1 \rightarrow i$	$P(\text{NH}_3)_{1/2} \text{ (atm)}$
$0 \rightarrow 1$	$10^{-20}$
$1 \rightarrow 2$	$10^{-19}$
$2 \rightarrow 3$	$10^{-13}$
$3 \rightarrow 4$	$10^{-10}$
$4 \rightarrow 5$	$10^{-8}$
	$10^{-5} \approx P_{\text{cel}}$
$5 \rightarrow 6$	$10^{-2}$



$$K_i = \frac{P_{\text{LaNH}(\text{NH}_3)_i^+}}{P_{\text{LaNH}(\text{NH}_3)_{i-1}^+} P_{\text{NH}_3}} = \frac{1}{(P_{\text{NH}_3})_{1/2}}$$

$$\Delta_r G_i = -R T \ln(K_i)$$

...autres ligands azotés

**Hydration and hydrolysis:**

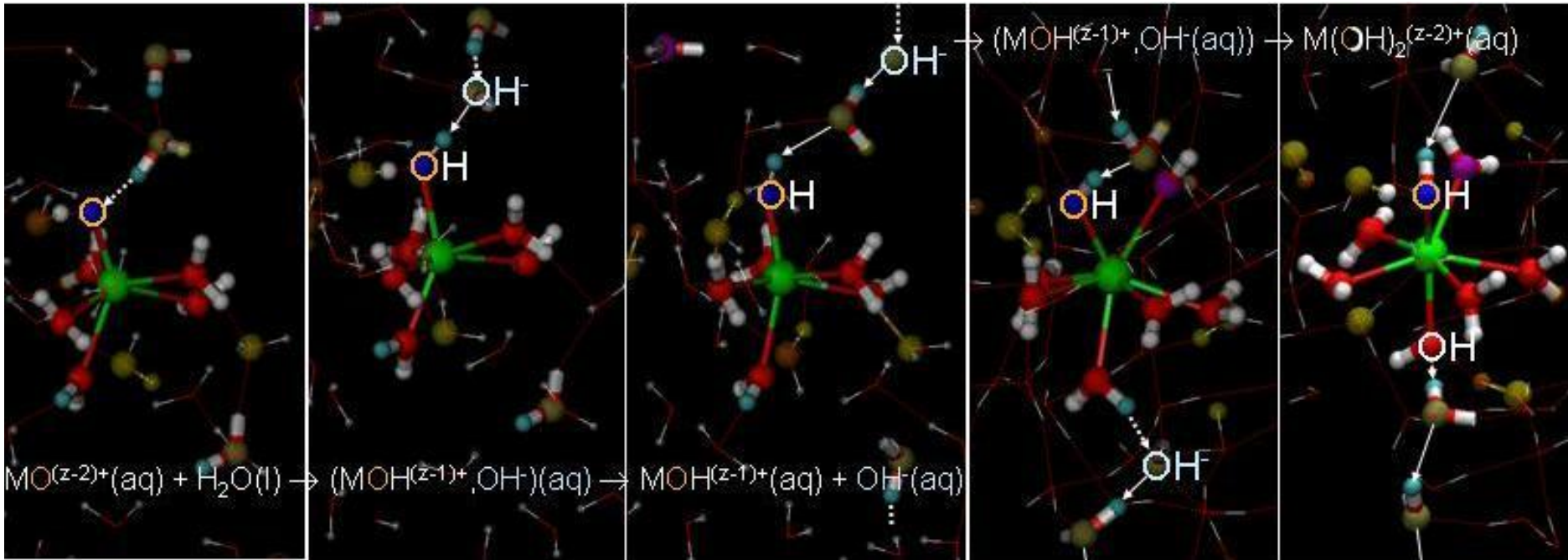
**PaO<sub>2</sub>(H<sub>2</sub>O)<sub>21</sub><sup>+</sup>**  
Siboulet *et al.*

*New.J.Chem.* (2008) 2080

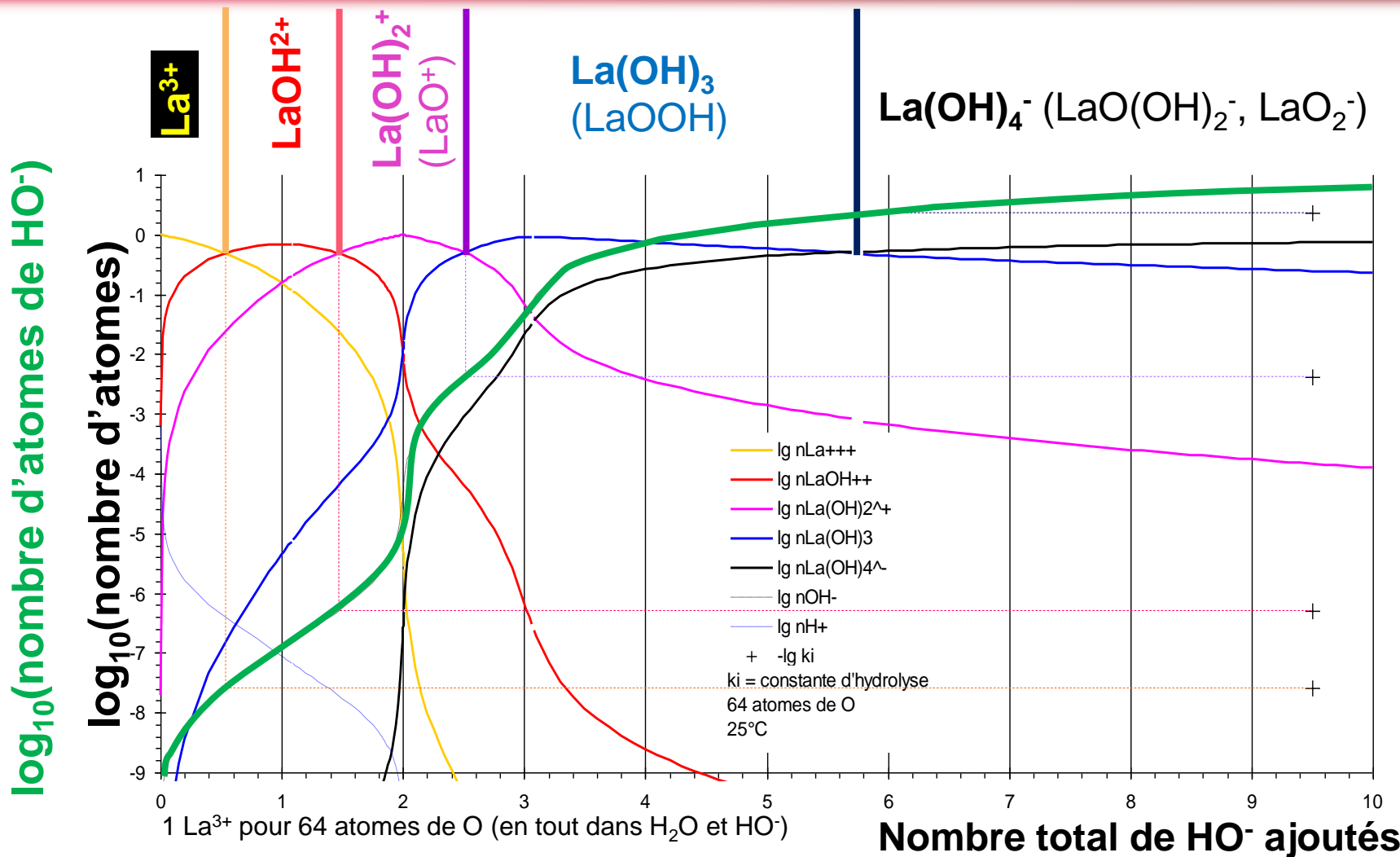
**(OPaO...OH<sub>2</sub>)<sup>+</sup>** "short" hydrogen bond has been evidenced by Siboulet *et al.* (*New.J.Chem.* (2008) 2080). It was confirmed by means of (**CPMD**) quantum dynamics (Spezia *et al.* *J.Phys.Chem.B* (2011) 3560) from which d(Pa-O<sub>yl</sub>) = 1.93 Å was extracted.

Hydrolysis:  $\text{LaO}^+ + \text{H}_2\text{O} \rightarrow \text{La(OH)}_2^+$ *Solution*

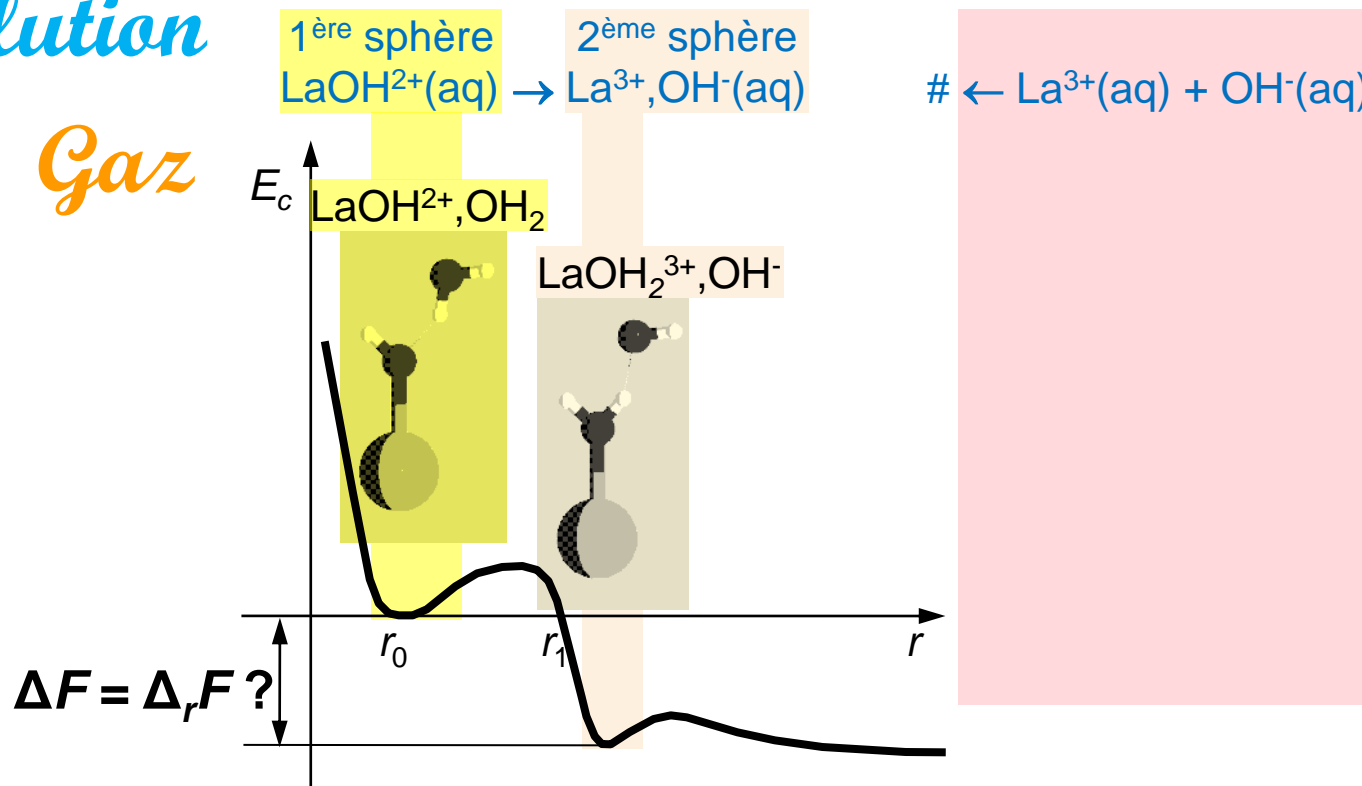
Simulation CPMD, avec l'aide de R.Vuilleumier, R.Spezia, M.Duvail

 $\text{LaO}^+$  $\text{LaOH}^{2+}, \text{HO}^-_{\text{cis}}$  $\text{LaOH}^{2+} + \text{HO}^-$  $\text{LaOH}^{2+}, \text{HO}^-_{\text{trans}}$  $\text{La(OH)}_2^+_{\text{trans}}$ 

*emass = 150, la protonation de O n'est pas observée avec emass = 300*



# Solution Gaz



M.Bühl, R.Diss, G.Wipff, JACS, 2005, 13506,

## pKa relatifs :

Acidity constants from vertical energy gaps: Density functional theory based molecular dynamics implementation.  
*M.Sulpizi, M.Sprik, Phys. Chem. Chem. Phys., 5238 (2008)*

*M.Sprik, G.Ciccotti, J.Chem.Phys. 1998, 7737*

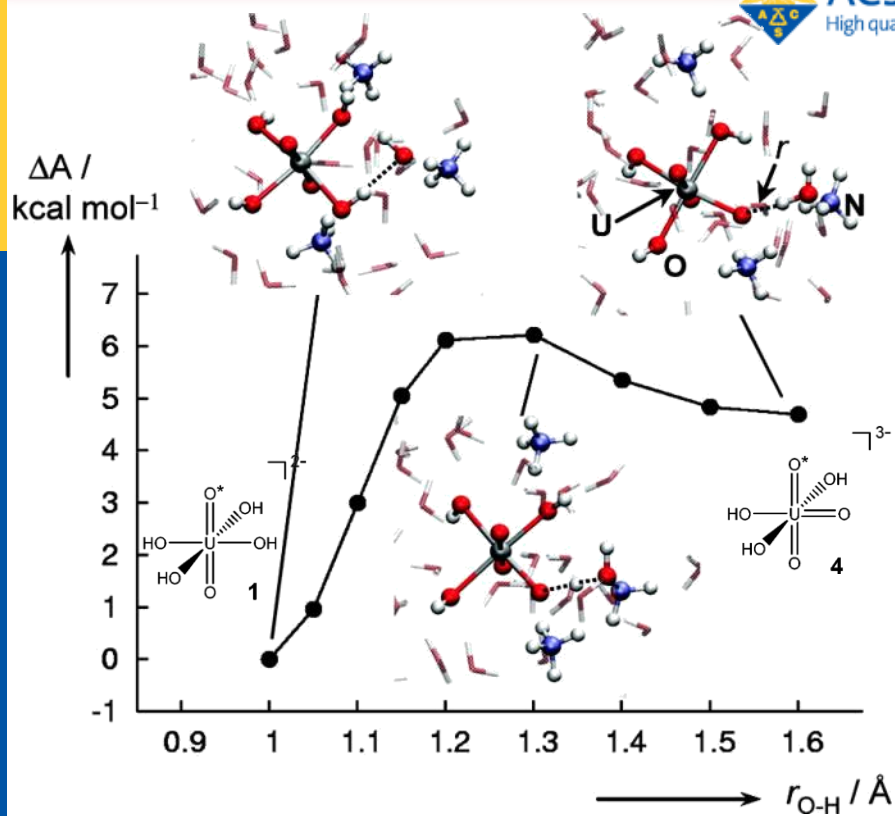
Coordonnée de réaction : r ...ou autre

# Hydrolyse: Intégration thermodynamique

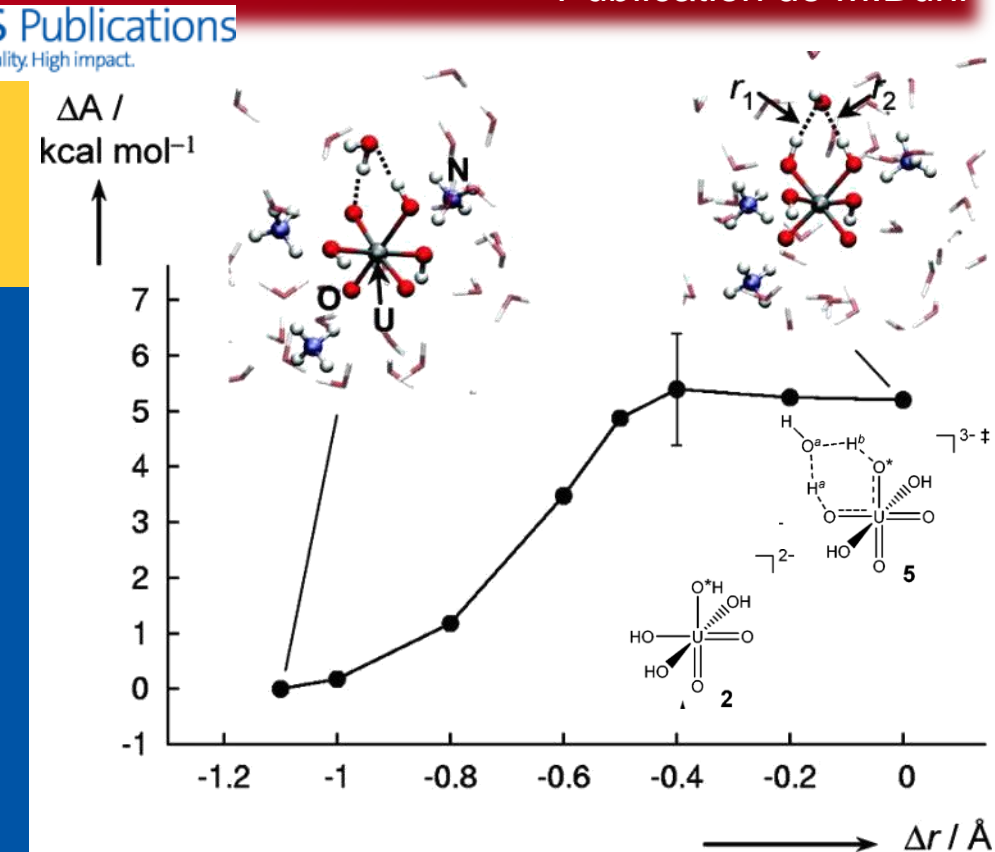
## NH<sub>4</sub><sup>+</sup> en 2<sup>ème</sup> sphère (échanges de H<sup>+</sup> et γ)

*Solution*

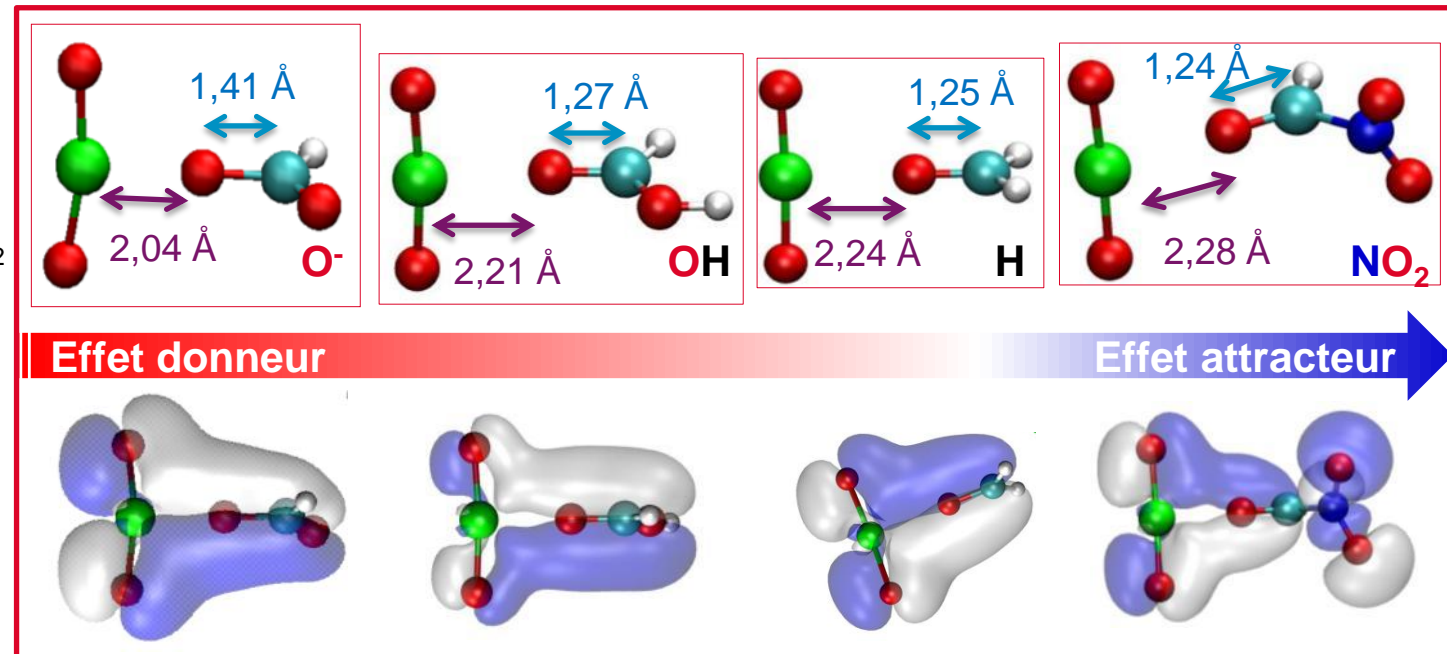
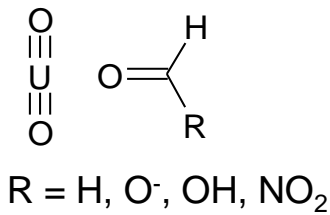
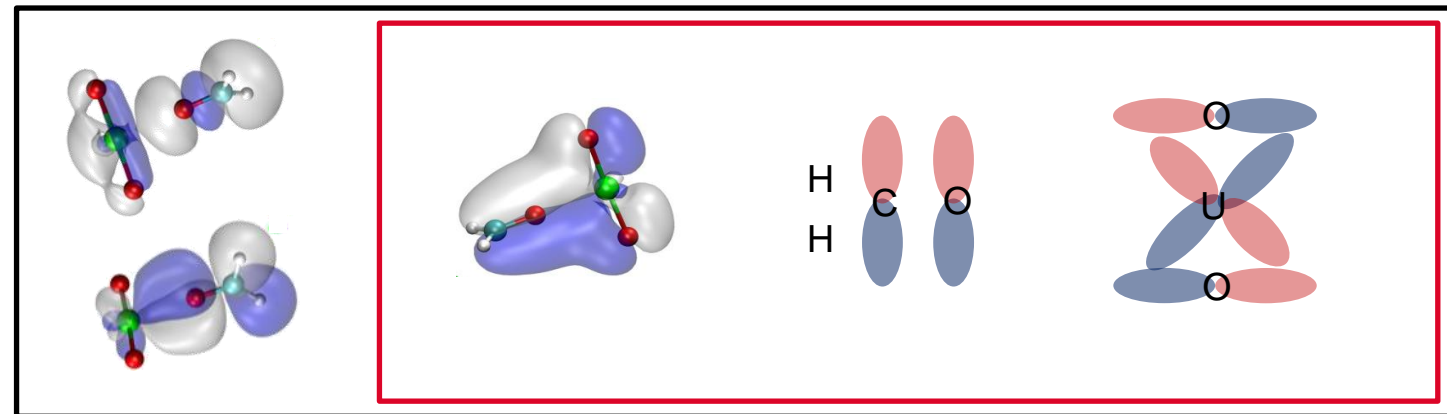
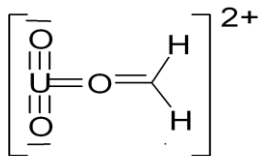
Publication de M.Bühl



CPMD/BLYP simulated free-energy profile from **1**·OH<sup>-</sup> (left) to **4** (right) at 320 K, using a UO...H distance as a reaction coordinate.

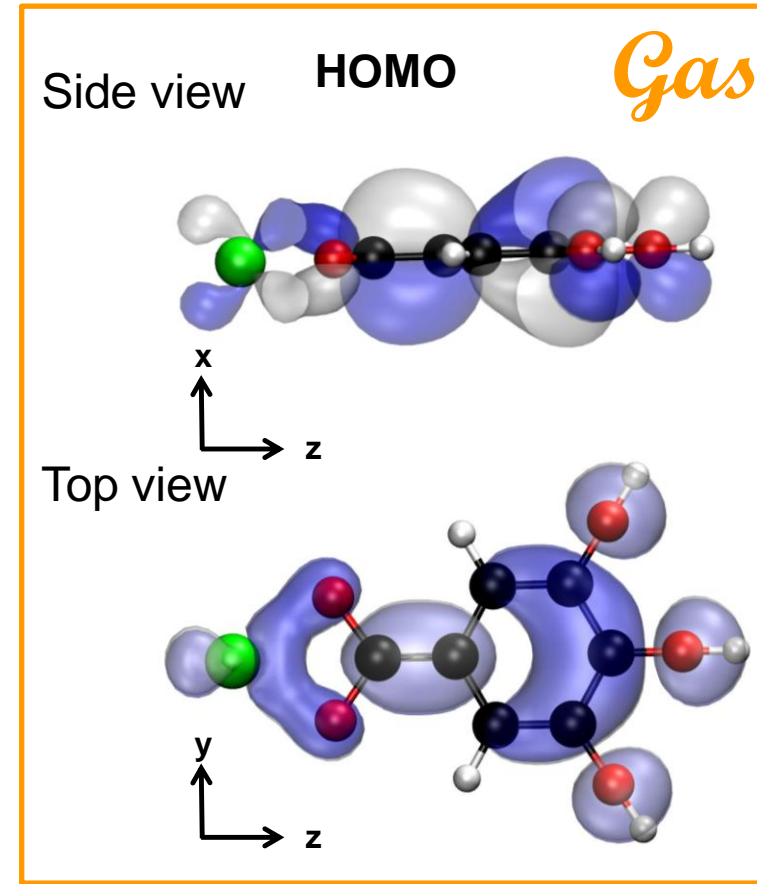
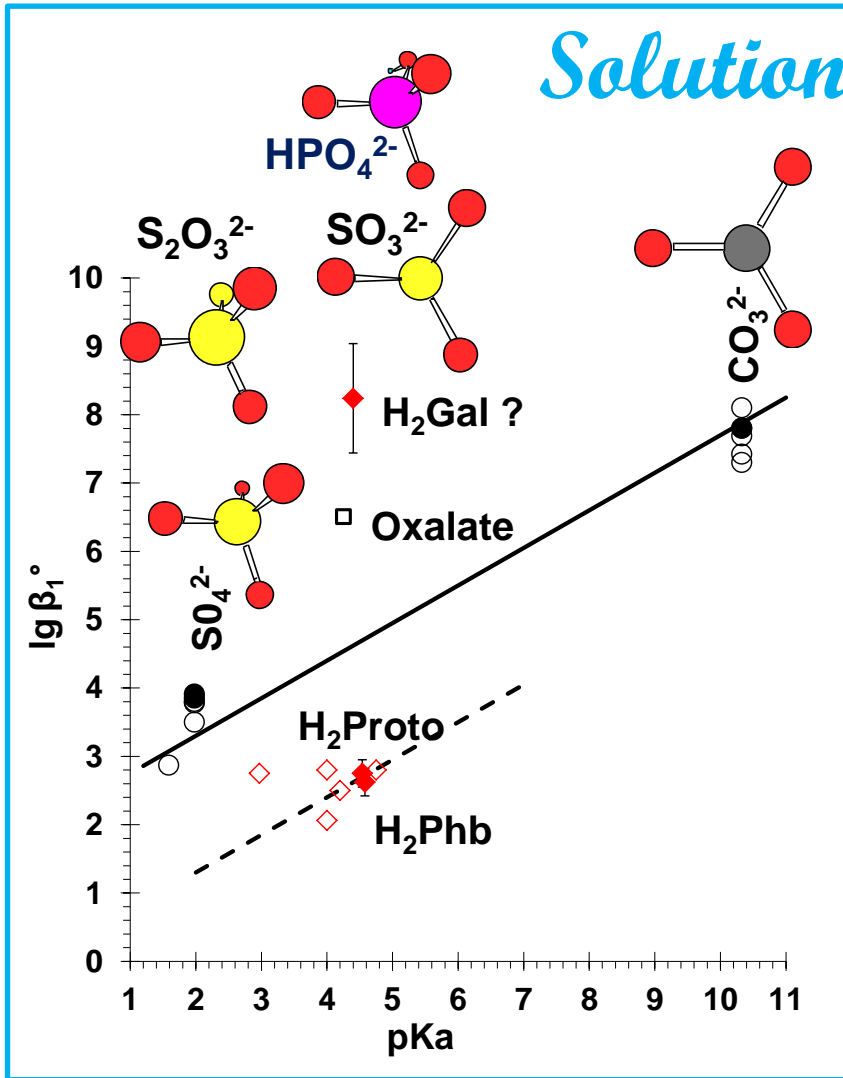


CPMD/BLYP simulated free-energy profile from **4**·H<sub>2</sub>O (left) to **5** (right) at 320 K, using the difference in designated O...H distances r<sub>1</sub> and r<sub>2</sub> as a reaction coordinate



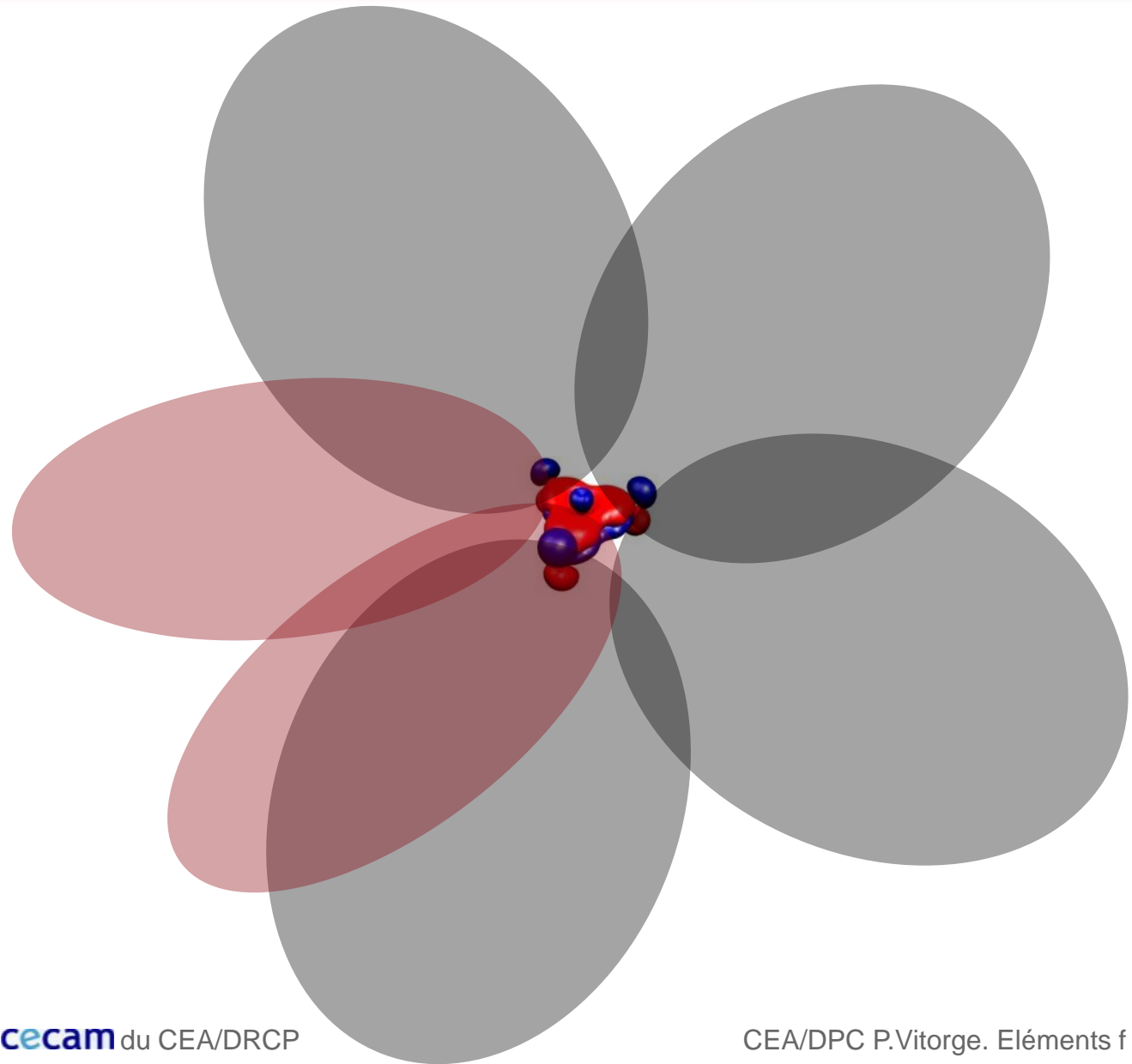
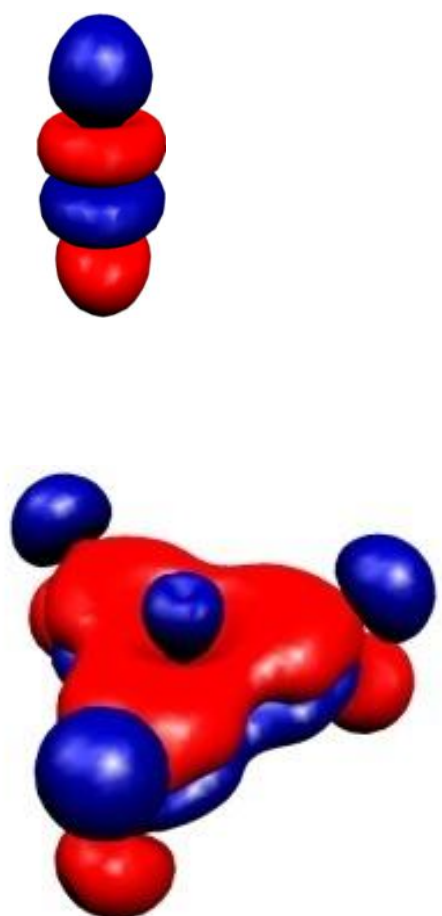
# Complexation de M<sup>3+</sup> par RO<sub>2</sub><sup>2-</sup>

P.Moreau



# Extraction du complexe $\text{UO}_2(\text{SO}_4)_3^{4-}$

A.Cadi



# Conclusion et perspectives

## Chimie quantique

**covalence dans des complexes d'éléments f**

**réactivité en phase gazeuse d'ions f (pour la spectrométrie de masse)**

**réactivité de ligands** (complexants et extractants)

comprendre celle de ceux actuellement utilisés

qu'on souhaite améliorer (sélectivité, stabilité...)

## Modélisation par dynamique moléculaire et gros grain

**Solvatation de complexes extraits** (mineraï d'uranium, retraitement)

(Aide à la) **détermination de constantes d'équilibre** (par dynamique moléculaire)

système où on peut observer des échanges assez nombreux

**augmenter la durée des simulations**

idem à haute température (simuler l'eau liquide jusqu'au point critique)

Intégration thermodynamique (coordonnée de réaction adaptée)

**validation sur des systèmes connus (*chemia in silico*)**

## Influence de la température

## Coefficients d'activité / complexation de surface

# Remerciements

Thèses M.Duvail  
A.Quémet  
P.Moreau  
S.Pasquier  
Stage A.Cadi

C.Marsden	LPQ Toulouse
R.Vuilleumier	ENS
D.Borgis	
M.Masella	CEA DSV Saclay
B.Siboulet	ICSM Marcoule
R.Speczia	LAMBE
J.Tortajada	
J.-Y.Salpin	
Y.Jeanvoine	
D.You	CEA DEN, DPC Saclay
F.Chartier	
R.Brennetot	